

合金元素 Hf, Sn, Ta, Zr, Dy 和 Ho 对 Nb-Nb<sub>5</sub>Si<sub>3</sub> 合金  
组织和力学性能的影响\*

郭建亭 周兰章 田玉新 侯介山 李谷松

(中国科学院金属研究所, 沈阳 110016)

**摘要** 综合评述了作者几年来先后完成的 Hf 含量对 Ni-16Si, Hf 和 Sn 对 Ni-20Ti-5Cr-3Al-18Si, Zr 含量对 Ni-22Ti-16Si, Ta 含量对 Nb-22Ti-16Si-7Cr-3Al 和稀土元素 Dy 和 Ho 对 Ni-23Ti-10Ta-2Cr-18Si 和 Ni-22Ti-16Si-7Cr-3Al-3Ta-2Hf 等合金组织结构和力学性能影响的研究工作. 合金元素 Hf, Zr, Sn+Hf, Ta, Dy 和 Ho 加入 Nb-Si 二元系或多元系合金, 明显提高其室温和高温屈服强度和塑性以及断裂韧性. 强度的提高与合金元素的固溶强化有关, 塑性、韧性的改善与组织的细化和超过临界尺寸的固溶体(Nb, Ti)<sub>ss</sub> 颗粒增多等因素有关.

**关键词** Nb<sub>5</sub>Si<sub>3</sub>, 合金元素, 组织, 力学性能

中图法分类号 TG132.3

文献标识码 A

文章编号 0412-1961(2015)07-0815-13

EFFECT OF Hf, Sn, Ta, Zr, Dy AND Ho ON MICRO-  
STRUCTURE AND MECHANICAL PROPERTIES  
OF Nb-Nb<sub>5</sub>Si<sub>3</sub> ALLOY

GUO Jianting, ZHOU Lanzhang, TIAN Yuxin, HOU Jieshan, LI Gusong

Institute of Metal Research, Chinese Academy of Sciences, Shenyang 110016

Correspondent: GUO Jianting, professor, Tel: (024)83978462, E-mail: jtguo@imr.ac.cn

Manuscript received 2014-08-28, in revised form 2015-01-29

**ABSTRACT** This paper reviews the research works of effects of elements on the microstructure and mechanical properties of Nb-Si alloys conducted by the authors in recent years, including effect of Hf on Ni-16Si, Hf and Sn on Ni-20Ti-5Cr-3Al-18Si, Zr on Ni-22Ti-16Si, Ta on Nb-22Ti-16Si-7Cr-3Al, and rare earth elements Dy and Ho on Ni-23Ti-10Ta-2Cr-18Si and Ni-22Ti-16Si-7Cr-3Al-3Ta-2Hf, respectively. The addition of elements Hf, Zr, Sn+Hf, Ta, Dy and Ho in Nb-Si binary system and multi-component system enhances room and high temperature strength, plasticity and fracture toughness obviously. The enhancement of strength is related with the solution strengthening of elements, and the improvement of plasticity and ductility is related with the refining of microstructure and the increase of particles which exceed the critical size of (Nb, Ti)<sub>ss</sub>.

**KEY WORDS** Nb<sub>5</sub>Si<sub>3</sub>, alloy element, microstructure, mechanical property

金属间化合物 Nb<sub>5</sub>Si<sub>3</sub> 具有熔点高(2520 °C)、密度低(7.16 g/cm<sup>3</sup>)及高温强度高优点, 有潜力成为下一代高温结构材料, 用于制作 1200~1400 °C 工作的涡轮叶片等高温零件<sup>[1]</sup>. 但由于其具有复杂的晶体结构, 且室温塑性非常低, 阻碍了它的实际应用. 通过引入塑性 Nb 相制备 Nb/Nb<sub>5</sub>Si<sub>3</sub> 原位复合材料,

使其室温塑性和断裂韧性显著提高, 但降低了高温强度. 为此, 研究人员<sup>[1-20]</sup>通过各种途径来逐步克服这些缺点, 以便获得室温塑性和高温强度的最佳配合, 最常用的方法就是合金化. 人们已对 Ti, Cr, Al, Mo, W 和 V 等合金化进行了大量的研究<sup>[2-7]</sup>, 取得了一些有益的结果, 然而还没有达到实际应用所需的强韧化水平.

Hf 是一个可以韧化 Nb 固溶体(Nb<sub>ss</sub>)的合金元素, 而且不增加 Nb<sub>ss</sub> 的韧脆转变温度<sup>[8]</sup>, 同时可以降低 Nb/Nb<sub>5</sub>Si<sub>3</sub> 合金的 Pest 敏感性, 而 Sn 的加入可以

\* 收到初稿日期: 2014-08-28, 收到修改稿日期: 2015-01-29

作者简介: 郭建亭, 男, 1938 年生, 研究员

DOI: 10.11900/0412.1961.2014.00477

消除 750~950 °C 范围的 Pest 现象<sup>[9]</sup>, 然而, 很少有研究 Hf 和 Sn 同时加入对 Nb/Nb<sub>3</sub>Si<sub>3</sub> 合金的影响; Ta 与 Nb 同属 VB 族元素, Ta 对 Nbss 进行固溶强化可望提高 Nb/Nb<sub>3</sub>Si<sub>3</sub> 合金的高温强度; 稀土元素 Dy 和 Ho 对 Nb/Nb<sub>3</sub>Si<sub>3</sub> 原位复合材料组织结构与力学性能的影响, 到目前为止, 尚未见报导; Zr 元素和定向凝固工艺的影响也极少有报导.

为此, 本课题组先后研究了 Hf 含量对 Nb-16Si, Hf 和 Sn 对 Nb-20Ti-5Cr-3Al-18Si, Zr 含量对 Nb-22Ti-16Si, Ta 含量对 Nb-22Ti-16Si-7Cr-3Al 和稀土元素 Dy 和 Ho 对 Nb-23Ti-10Ta-2Cr-18Si 和 Nb-22Ti-16Si-7Cr-3Al-3Ta-2Hf (原子分数)合金组织和力学性能的影响<sup>[1,10~20]</sup>, 以期找到提高(Nb, Ti)ss/(Nb, Ti)<sub>3</sub>Si<sub>3</sub> 合金强度的同时, 改善韧性的途径. 本文即是对这些研究工作的综合报导. 在本文中, 不同合金元素作用的研究均采用纽扣锭制成试样. 以高纯合金元素为原材料, 在 Ar 气保护下利用非自耗钨电极由电弧炉熔炼, 反复熔炼至少 5 次, 以使合金锭成分均匀. 因合金锭的重量损失小于 0.5%, 故认为它的成分与名义成分一致. 采用线切割机从合金锭的下部中央位置切取尺寸 4 mm×4 mm×6 mm 的压缩样品及其它试样. 定向凝固试样采用 1 kg 非自耗钨电极电弧炉熔炼母合金, 在光悬浮炉中进行定向凝固,

生长速率为 6.9 和 12 mm/h, Ar 气保护下, 制成直径 8 mm, 高 70 mm 圆棒, 从试棒中央切取各种试样. 利用 D/Max-2500CC 型 X 射线衍射仪(XRD)和 S-3400 型扫描电镜(SEM)对合金进行相的鉴定及显微组织观察. 利用 EPMA-1610 电子探针(EPMA)分析合金中各相的化学成分. 用 JEM-2010 透射电镜(TEM)确定合金中的新相和高分辨结构组织观察. 在 Gleeble1500 型电伺服系统热模拟试验机上测试室温和高温压缩性能.

## 1 合金元素 Hf 的作用

### 1.1 对组织结构的影响

含有不同 Hf 含量的 Nb-16Si 合金组织的背散射像(BSE)见图 1<sup>[10]</sup>, 根据 XRD 和 EPMA 分析结果, 组织中白色相为 Nbss 相, 黑灰色相为 Nb<sub>3</sub>Si 相. 加 Hf 合金相界上出现亮白色的颗粒相, 其化学成分(原子分数, %)为 30.2Hf-1.9Nb-67.9O (表 1<sup>[10]</sup>), 其中 Hf:O=1:2, 所以亮白色相应是 HfO<sub>2</sub>. 从表 1 还可看出, 在 Nb<sub>3</sub>Si 中 Hf 的含量高于 Nbss. 对照图 1 可知, 合金主要由初生 Nbss 枝晶和 Nbss/Nb<sub>3</sub>Si 的细小共晶组成. Hf 的加入明显改变合金的组织形貌, 随 Hf 含量增加, Nb-Si 二元共晶点成分向低 Nb 含量方向偏移, 因而共晶胞组织的数量减少, 组织被明显细化, 以初生 Nbss 颗粒增多和共晶胞尺寸减少为明显标

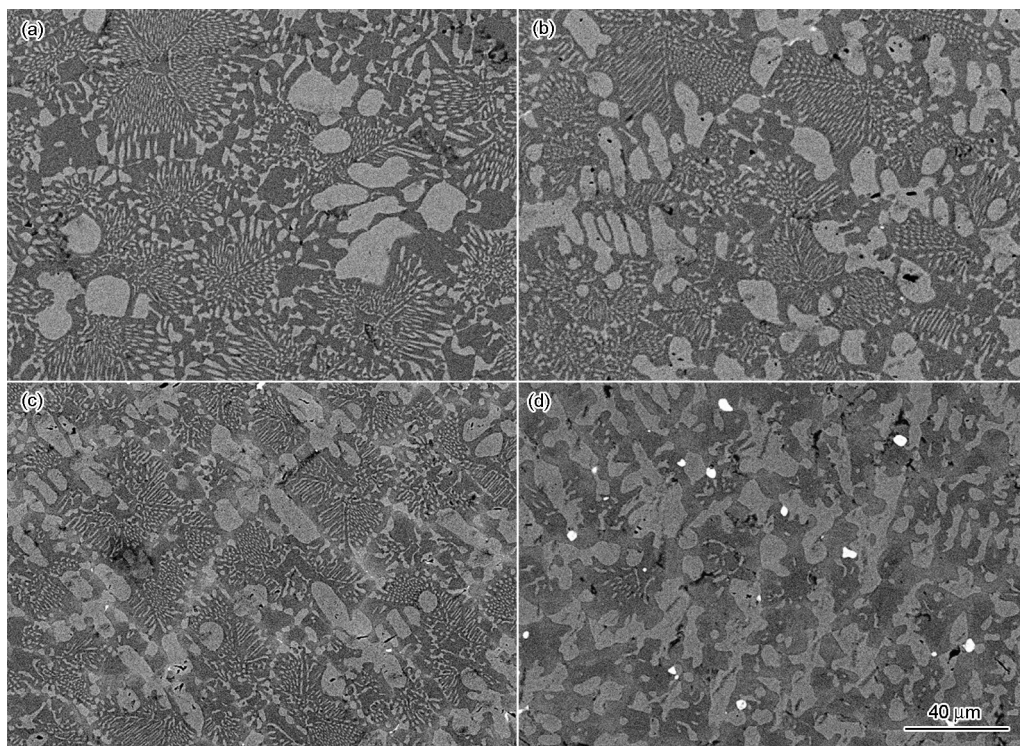


图 1 不同 Hf 含量的 Nb-16Si 合金的 BSE 像<sup>[10]</sup>

Fig.1 BSE images of Nb-16Si alloy with different contents of Hf<sup>[10]</sup>

(a) Nb-16Si (b) Nb-16Si-1Hf (c) Nb-16Si-3Hf (d) Nb-16Si-7Hf



志. 当 Hf 含量达 7%, 与共晶点成分接近相同, 因而共晶胞几乎消失(图 1d).

1.2 对断裂韧性的影响

含有不同 Hf 含量的 Nb-16Si 合金的断裂韧性见图 2<sup>[10]</sup>. 可见, 随 Hf 含量增加, 断裂韧性增加, 从 5.6 MPa·m<sup>1/2</sup> 增加到 8.5 MPa·m<sup>1/2</sup>. 断裂韧性的增加, 与组织的变化密切相关. 随 Hf 含量增加, 合金中细小共晶组织减少, 初生 Nbss 颗粒增多, 裂纹扩展观察表明(图 3<sup>[10]</sup>), 裂纹遇到较大尺寸初生 Nbss 相, 常常可以发现裂纹桥接和偏转, 而裂纹在共晶中可以直接穿过. 文献[21]报导, Nbss 厚度大于临界尺寸时, 可以有效阻止裂纹扩展, 这与本工作观察结果一致. 由于 Nbss 颗粒尺寸大于临界尺寸, 因而可以使裂纹桥接和偏转, 从而吸收大量能量, 共晶中的 Nbss 相因尺寸小于临界尺寸, 因而不能阻止裂纹扩展, 裂纹可以直线穿过共晶组织. 加 Hf 合金中大于临界尺寸的 Nbss 相要多于不加 Hf 的 Nb-Si 二元合

金, 而且 Hf 含量愈高, 这类 Nbss 相的数量愈多, 对裂纹扩展造成的阻力愈大, 因而加 Hf 合金的室温断裂韧性要明显优于不加 Hf 的二元合金, 而且 Hf 含量愈多, 断裂韧性愈高. 其次, 由于 Hf 的加入本身可以改善 Nbss 的塑性<sup>[8]</sup>, Hf 与 Ti 一样, 是改善 Nbss 塑性和韧性的唯一元素, 因其可以降低 Peierls-Nabaro 能垒, 从而增加 Nbss 的韧性和塑性, 有利于合金整体韧性的提高.

总之, Hf 加入 Nb-16Si 二元合金后明显改变 Nb-16Si 合金组织形貌, 随 Hf 含量增加组织明显细化, 断裂韧性增加.

2 合金元素 Sn 及 Hf 和 Sn 的作用

2.1 对组织结构的影响

含有 1.5%Sn (合金 B) 和 1.5%Sn+4%Hf (合金 C) 的 Nb-20Ti-3Cr-3Al-18Si (合金 A) 合金组织的 BSE 像见图 4<sup>[1]</sup>. XRD 和 EPMA 分析结果表明, 合金组织由灰白色 (Nb, Ti)<sub>ss</sub> 和 (Nb, Ti)<sub>5</sub>Si<sub>3</sub> 相组成. 不加 Sn (合金 A) 和加 Sn (合金 B) 的合金中 (Nb, Ti)<sub>5</sub>Si<sub>3</sub> 相属四方晶系的 β 相, 呈灰色, 而 Sn 和 Hf 同时加入的合金(合金 C)中的 (Nb, Ti)<sub>5</sub>Si<sub>3</sub> 属于 β 相或富 Hf 的六方晶系的白色 γ 相. 合金的典型组织由初生的 (Nb, Ti)<sub>5</sub>Si<sub>3</sub> 和 (Nb, Ti)<sub>ss</sub>+(Nb, Ti)<sub>5</sub>Si<sub>3</sub> 的共晶组成. 从图 4 可以看出, Sn 的加入对合金的组织没有明显改变(图 4a 和 b), 然而 Sn 和 Hf 同时加入的合金组织有

表 1 不同 Hf 含量 Nb-16Si 合金相的化学成分<sup>[10]</sup>  
Table 1 Chemical compositions of phases in Nb-16Si alloy with different contents of Hf<sup>[10]</sup>

(atomic fraction / %)				
Alloy	Phase	Nb	Si	Hf
Nb-16Si	Nbss	98.04	1.96	—
	Nb <sub>5</sub> Si <sub>3</sub>	75.35	24.65	—
Nb-16Si-1Hf	Nbss	97.07	2.19	0.74
	Nb <sub>5</sub> Si <sub>3</sub>	74.77	23.98	1.25
Nb-16Si-3Hf	Nbss	95.53	2.47	2.00
	Nb <sub>5</sub> Si <sub>3</sub>	71.78	24.36	3.86
Nb-16Si-7Hf	Nbss	91.77	1.81	6.42
	Nb <sub>5</sub> Si <sub>3</sub>	67.66	24.20	8.14

Note: Nbss is Nb solid solution

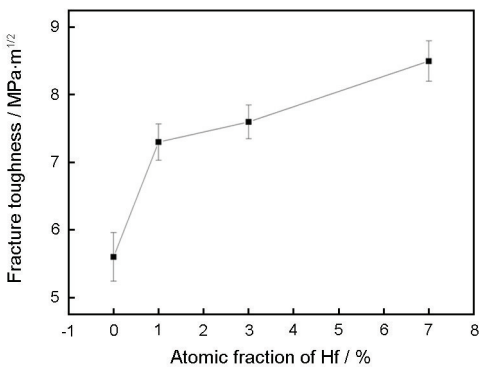


图 2 Hf 含量对 Nb-16Si 合金室温断裂韧性的影响<sup>[10]</sup>

Fig.2 Effect of Hf contents on room temperature toughness of Nb-16Si alloy<sup>[10]</sup>

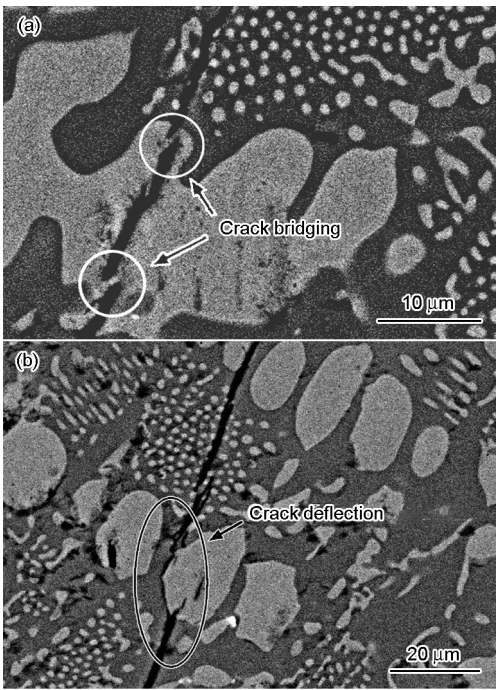


图 3 Nb-16Si-1Hf 合金的裂纹扩展路线形貌<sup>[10]</sup>

Fig.3 Morphologies of crack propagation through bridging (a) and deflection (b) of Nb-16Si-1Hf alloy<sup>[10]</sup>

明显变化, 共晶组织明显粗化, 而且有富 Hf 相沿相界析出, 选区电子衍射分析表明(图 5<sup>[1]</sup>), 富 Hf 相为  $\beta\text{-(Nb,Ti)}_5\text{Si}_3$  相<sup>[1]</sup>. EPMA 分析表明(表 2<sup>[1]</sup>), 合金 B 中的 Sn 择优溶解于 (Nb, Ti)ss, 而不是 (Nb, Ti)<sub>5</sub>Si<sub>3</sub>, 而同时 (Nb, Ti)ss 的 Cr 含量降低, 亦即 Sn 降低 (Nb, Ti)ss 中 Cr 的溶解度, 然而 Ti, Al 和 Si 含量则不受 Sn 的影响. 含 Hf 合金(合金 C)中富 Hf 相  $\gamma\text{-(Nb, Ti)}_5\text{Si}_3$  中的 Hf 含量较  $\beta\text{-(Nb, Ti)}_5\text{Si}_3$  相高 3 倍, 而富 Hf 相中的 Ti 含量也高于  $\beta\text{-(Nb, Ti)}_5\text{Si}_3$  相, 说明 Hf 的加入促进 Ti 在富 Hf 相中的偏析, 因此, 导致了  $\beta\text{-(Nb, Ti)}_5\text{Si}_3$  相 Ti 含量降低, 从而降低了  $\beta\text{-(Nb, Ti)}_5\text{Si}_3$  相的生长速率, 有利于共晶组织粗化. 然而, (Nb, Ti)ss 和  $\beta\text{-(Nb, Ti)}_5\text{Si}_3$  相的其它元素没有明显变化.

## 2.2 对室温力学性能的影响

(Nb, Ti)ss 相的 Vickers 硬度由于 Sn 加入而降

低, 而 Hf 的加入使硬度有提高.  $\beta\text{-(Nb, Ti)}_5\text{Si}_3$  的 Vickers 硬度对 Sn 的加入不敏感, 相反, 对 Hf 的加入敏感, 使 Vickers 硬度显著增加(表 3<sup>[1]</sup>), 所以 Sn 的加入弱化 (Nb, Ti)ss 相, 而 Hf 的加入强化 (Nb, Ti)ss 和  $\beta\text{-(Nb,Ti)}_5\text{Si}_3$ .  $\gamma\text{-(Nb, Ti)}_5\text{Si}_3$  相因为尺寸太小而未能测量硬度.

从表 3 可以看出, 基础合金(合金 A)屈服前就断裂了, 压缩塑性为零. 合金 B 由于加入了 1.5%Sn 致使压缩塑性提高达 2.1%, 而断裂强度降低 126 MPa. Hf 的加入, 使屈服强度和断裂强度都增加, 与合金 B 比较, 前者增加 73 MPa, 后者增加 166 MPa, 而压缩塑性则增加至 6.3%. 合金 B 室温断裂强度低主要是由于在 (Nb, Ti)ss 相中 Cr 含量降低所致. 因为 Cr 含量降低使 (Nb, Ti)ss 相固溶强化减弱, 同时增加塑

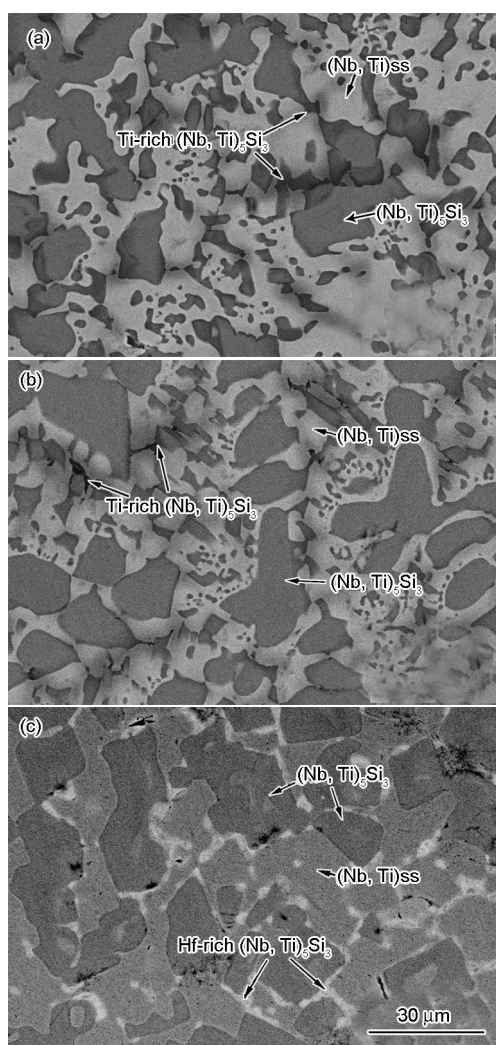


图4 几种合金的BSE像<sup>[1]</sup>

**Fig.4** BSE images of Nb-20Ti-3Cr-3Al-18Si (alloy A) (a), Nb-20Ti-3Cr-3Al-18Si-1.5Sn (alloy B) (b) and Nb-20Ti-3Cr-3Al-18Si-1.5Sn-4Hf (alloy C) (c)<sup>[1]</sup>

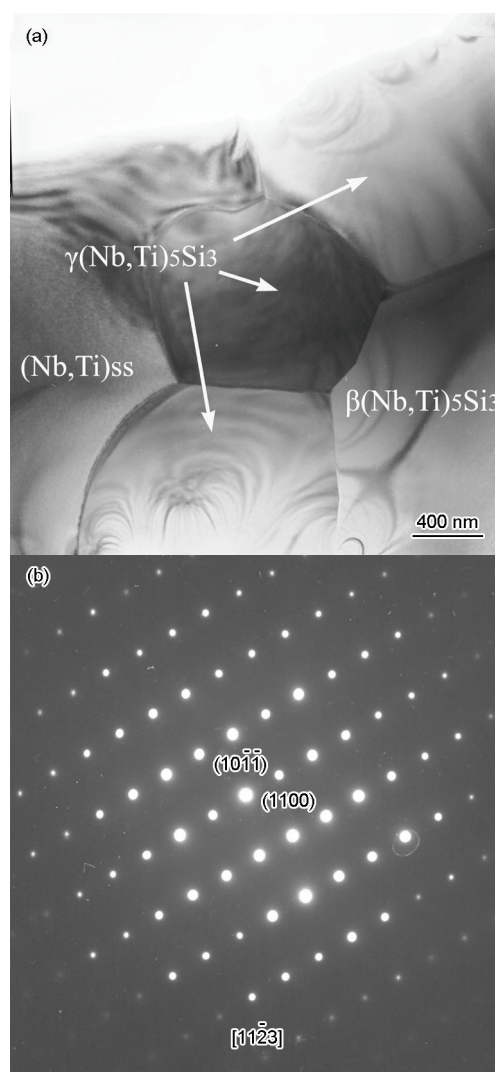


图5 富Hf白色相的形貌及沿  $\gamma\text{-(Nb, Ti)}_5\text{Si}_3$  相  $[11\bar{2}3]$  晶带轴的选区电子衍射花样<sup>[1]</sup>

**Fig.5** Morphology of Hf-rich white phase (a) and selected area diffraction pattern from the white phase along zone axis  $[11\bar{2}3]$  of  $\gamma\text{-(Nb, Ti)}_5\text{Si}_3$  (b)<sup>[1]</sup>



表 2 A, B 和 C 合金中相的化学成分<sup>[1]</sup>  
Table 2 Chemical compositions of phases in alloys A, B and C<sup>[1]</sup>

(atomic fraction / %)								
Alloy	Phase	Nb	Ti	Cr	Al	Si	Sn	Hf
A	(Nb, Ti) <sub>ss</sub>	58.69	25.04	11.91	2.97	1.58	—	—
	(Nb, Ti) <sub>5</sub> Si <sub>3</sub>	51.38	13.62	0.30	1.70	33.00	—	—
	Ti-rich (Nb, Ti) <sub>5</sub> Si <sub>3</sub>	46.10	17.65	0.47	3.31	32.47	—	—
B	(Nb, Ti) <sub>ss</sub>	58.93	24.76	9.43	3.11	1.61	2.16	—
	(Nb, Ti) <sub>5</sub> Si <sub>3</sub>	50.60	13.71	1.25	1.76	32.10	0.58	—
	Ti-rich (Nb, Ti) <sub>5</sub> Si <sub>3</sub>	45.64	16.89	1.64	3.91	32.25	0.39	—
C	(Nb, Ti) <sub>ss</sub>	56.92	24.62	9.35	3.04	1.12	2.23	2.72
	(Nb, Ti) <sub>5</sub> Si <sub>3</sub>	49.34	10.27	1.31	1.87	32.31	0.50	4.40
	Hf-rich (Nb, Ti) <sub>5</sub> Si <sub>3</sub>	26.22	23.86	1.55	3.10	31.52	0.30	13.45

表 3 A, B 和 C 合金的室温压缩性能<sup>[1]</sup>  
Table 3 Summary of Vickers hardness, yield strength, fracture stress and compressive ductility of alloys A, B and C<sup>[1]</sup>

Alloy	Vickers hardness / MPa		Yield strength MPa	Fracture strength MPa	Compressive ductility %
	(Nb, Ti) <sub>ss</sub>	$\beta$ -(Nb, Ti) <sub>5</sub> Si <sub>3</sub>			
A	685	1380	—	1806	—
B	589	1387	1625	1680	2.1
C	692	1429	1698	1846	6.3

性<sup>[22]</sup>. 加 Hf 合金(合金 C)强度的提高主要是由于 Nb 和 Hf 原子半径差别大而引起(Nb, Ti)<sub>ss</sub> 显著固溶强化. 压缩塑性的改善为归因于共晶组织的粗化和化学成分的改变, 前者使(Nb, Ti)<sub>ss</sub> 的厚度由合金 A 的 3.9 mm 和合金 B 的 3.5 mm 增加到合金 C 的 7.2 mm (图 4). 由于厚的(Nb, Ti)<sub>ss</sub> 可以有效阻止裂纹扩展<sup>[1,21]</sup>. 而后者因 Hf 的加入可以降低 Peierls-Nabarro 能垒, 从而增加(Nb, Ti)<sub>ss</sub> 的断裂韧性和塑性<sup>[1,8]</sup>.

3 合金元素 Ta 的作用

3.1 对组织的影响

不同 Ta 含量(0, 2%, 5%, 10%)的 Nb-22Ti-16Si-7Cr-3Al 合金铸态组织形貌见图 6<sup>[13]</sup>. 当 Ta 含量超过 5%, 合金组织由(Nb, Ti)<sub>ss</sub>,  $\beta$ -(Nb, Ti)<sub>5</sub>Si<sub>3</sub> 和  $\alpha$ -(Nb, Ti)<sub>5</sub>Si<sub>3</sub> 组成, 并且随着 Ta 含量增加,  $\alpha$ -(Nb, Ti)<sub>5</sub>Si<sub>3</sub> 增多, 而  $\beta$ -(Nb, Ti)<sub>5</sub>Si<sub>3</sub> 减少. 由此可见, Ta 的加入促进了  $\beta$ -(Nb, Ti)<sub>5</sub>Si<sub>3</sub> 向  $\alpha$ -(Nb, Ti)<sub>5</sub>Si<sub>3</sub> 转变, 这是因为固溶于硅化物中的 Ta 具有稳定  $\alpha$ -(Nb, Ti)<sub>5</sub>Si<sub>3</sub> 的作用<sup>[23]</sup>, 而且  $\beta$ -(Nb, Ti)<sub>5</sub>Si<sub>3</sub> 到  $\alpha$ -(Nb, Ti)<sub>5</sub>Si<sub>3</sub> 的同素异构转变

在合金凝固过程中很容易发生. 同时随 Ta 含量增加,  $\beta$ -(Nb, Ti)<sub>5</sub>Si<sub>3</sub> 到  $\alpha$ -(Nb, Ti)<sub>5</sub>Si<sub>3</sub> 的转变反应越完全, 得到的  $\alpha$ -(Nb, Ti)<sub>5</sub>Si<sub>3</sub> 相越多.

Ta 的增加对各组成分也有一定的影响, 从能谱分析(表 4<sup>[13]</sup>)可以看到, Ta 能够在(Nb, Ti)<sub>ss</sub> 相和(Nb, Ti)<sub>5</sub>Si<sub>3</sub> 相中固溶, 且 Ta 在(Nb, Ti)<sub>ss</sub> 相中的固溶量远大于在(Nb, Ti)<sub>5</sub>Si<sub>3</sub> 相中的量, 随着 Ta 含量的增加, Si 在(Nb, Ti)<sub>ss</sub> 相中的含量逐渐增加, 由不加 Ta 合金的 1.81% 增加至 10%Ta 合金的 8.87%. 由 Nb-Si<sup>[24]</sup> 和 Ta-Si<sup>[25]</sup> 二元相图可知, 在同一温度下, Si 在 Ta 中的固溶度大于在 Nb 中的固溶度, 因此, Ta 的加入能够促进 Si 在(Nb, Ti)<sub>ss</sub> 中的固溶.

3.2 对合金压缩性能的影响

图 7<sup>[13]</sup> 为不同 Ta 含量 Nb-22Ti-16Si-7Cr-3Al 合金的室温压缩屈服强度和断裂应变. 由图可见, 随着 Ta 添加量的增加, 合金的室温压缩屈服强度不断增加, 这归因于 Ta 的固溶强化作用. 由断裂应变可以看出, Ta 含量对合金室温塑性没有明显影响.

chinaXiv:202303.00602v1

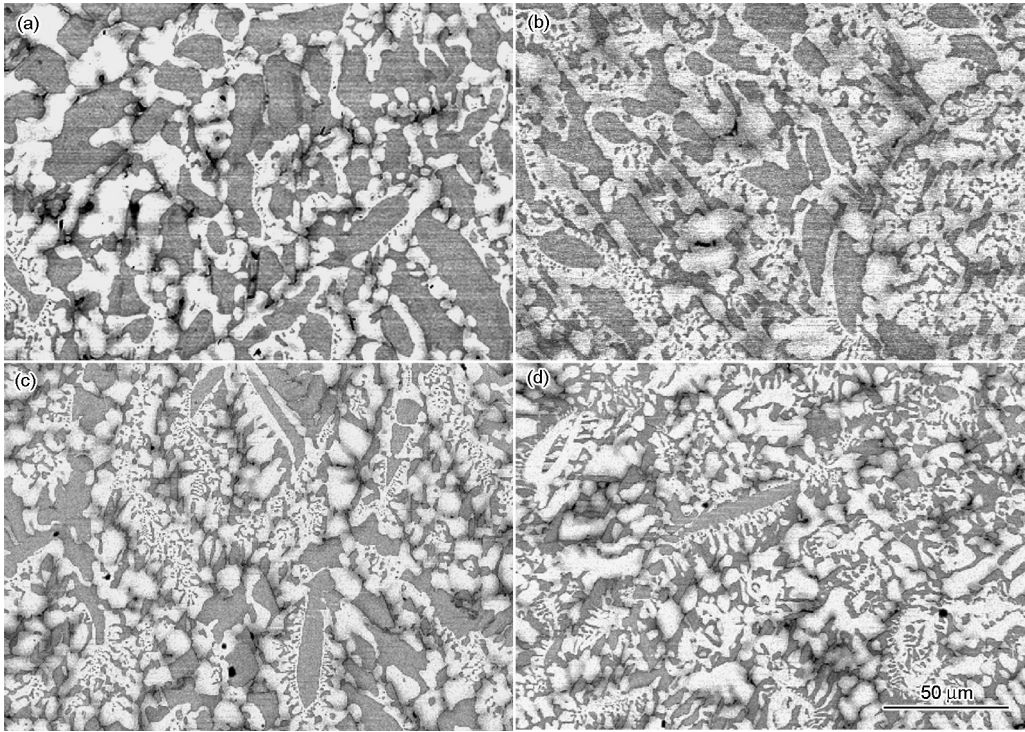


图6 不同Ta含量的Nb-22Ti-16Si-7Cr-3Al合金的BSE像<sup>[13]</sup>

Fig.6 BSE images of as-cast Nb-22Ti-16Si-7Cr-3Al alloy with Ta contents of 0 (a), 2% (b), 5% (c) and 10% (d)<sup>[13]</sup>

表4 不同Ta含量Nb-22Ti-16Si-7Cr-3Al合金中各相的成分<sup>[13]</sup>

Table 4 Chemical compositions of phases in Nb-22Ti-16Si-7Cr-3Al alloy with different Ta contents<sup>[13]</sup>

(atomic fraction / %)							
Content / %	Phase	Nb	Ti	Si	Al	Cr	Ta
0	(Nb, Ti)ss	68.85	18.85	1.81	3.69	7.04	0
	(Nb, Ti) <sub>3</sub> Si <sub>3</sub>	49.60	13.46	33.49	2.08	1.36	0
2	(Nb, Ti)ss	56.83	23.27	4.63	3.61	9.33	2.33
	(Nb, Ti) <sub>3</sub> Si <sub>3</sub>	44.13	16.10	35.44	1.85	1.77	0.71
5	(Nb, Ti)ss	54.48	21.22	6.71	3.30	8.18	6.11
	(Nb, Ti) <sub>3</sub> Si <sub>3</sub>	42.48	14.86	37.05	1.20	1.55	2.86
10	(Nb, Ti)ss	50.74	17.99	8.87	3.77	5.29	13.34
	(Nb,Ti) <sub>3</sub> Si <sub>3</sub>	35.87	14.49	34.87	2.65	1.93	5.19

图8<sup>[13]</sup>为不同Ta含量Nb-22Ti-16Si-7Cr-3Al合金在1000℃下的压缩屈服强度,当Ta含量从0增加到5%时,合金的压缩屈服强度从640MPa增加到790MPa,而当Ta含量增加到10%时,合金的压缩屈服强度为780MPa,与5%Ta合金处于同一水平,说明Ta能够进一步提高合金的高温强度,这是由于Ta是高熔点元素,Ta的添加会降低合金的扩散系数,阻碍高温变形,从而使得强度提高.

4 合金元素Zr的作用

4.1 Zr含量对合金显微组织的影响

不同Zr含量(0, 2%, 3%, 4%)的Nb-22Ti-16Si合金铸态组织的BSE像见图9<sup>[11]</sup>.经XRD和EDS分析(表5<sup>[12]</sup>)表明,图9中白色相为(Nb, Ti)ss枝晶,深灰色为(Nb, Ti)<sub>3</sub>Si相,黑色相为γ-(Nb, Ti)<sub>3</sub>Si<sub>3</sub>相,其中(Nb, Ti)<sub>3</sub>Si相为基体,(Nb, Ti)ss枝晶镶嵌在(Nb, Ti)<sub>3</sub>Si基体上,(Nb, Ti)<sub>3</sub>Si相主要分布在(Nb, Ti)ss和



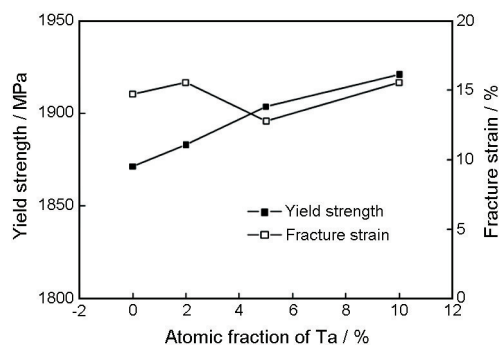


图7 Ta含量对Nb-22Ti-16Si-7Cr-3Al合金室温压缩强度和断裂应变的影响<sup>[13]</sup>

Fig.7 Compressive yield strength and fracture strain for Nb-22Ti-16Si-7Cr-3Al alloy with different Ta contents at room temperature<sup>[13]</sup>

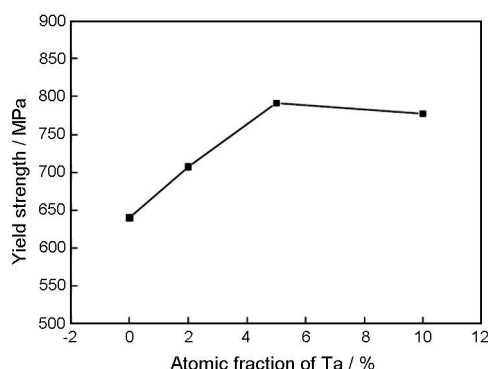


图8 不同Ta含量Nb-22Ti-16Si-7Cr-3Al合金在1000 °C的压缩屈服强度<sup>[13]</sup>

Fig.8 Compressive yield strength for Nb-22Ti-16Si-7Cr-3Al alloy with different Ta contents at 1000 °C<sup>[13]</sup>

(Nb, Ti)<sub>3</sub>Si相界处. 随着Zr的加入, 组织明显粗化, 尤其表现为(Nb, Ti)ss相的尺寸增大, 这可能是由于在凝固过程中Zr的存在影响了初生(Nb, Ti)ss相的形核和生长动力学, 以至于增加了初生(Nb, Ti)ss相的平均尺寸. 且Zr的加入促进了合金中共晶组织的形成, 共晶组织由层片状的(Nb, Ti)ss相和黑色富Ti和Zr的 $\gamma$ -(Nb, Ti)<sub>3</sub>Si<sub>3</sub>相组成, 见图10<sup>[11]</sup>, 另外, 从表5中可以看出, 在 $\gamma$ -(Nb, Ti)<sub>3</sub>Si<sub>3</sub>相中, Zr含量最大, 在(Nb, Ti)<sub>3</sub>Si相中Zr含量最少, 说明Zr更易溶解在(Nb, Ti)<sub>3</sub>Si<sub>3</sub>相中, 且随Zr含量的增加, Zr在每相中的含量都有不同程度的增加.

高分辨(HRTEM)像观察表明, (Nb, Ti)ss和 $\gamma$ -(Nb, Ti)<sub>3</sub>Si<sub>3</sub>的界面没有一致的取向关系, 与文献[20]报导的完全不同. 该文献结果认为在73.5Nb-25Si-1.5Zr合金中2者有确定的取向关系, 即 $\langle 111 \rangle_{\text{Nb}} // \langle 001 \rangle_{\text{Nb}_3\text{Si}_3}$ ,  $\{011\}_{\text{Nb}} // \{110\}_{\text{Nb}_3\text{Si}_3}$ . 图11<sup>[11]</sup>表明, (Nb, Ti)ss和 $\gamma$ -(Nb, Ti)<sub>3</sub>Si<sub>3</sub>界面是光滑平直的, 没有界面中间

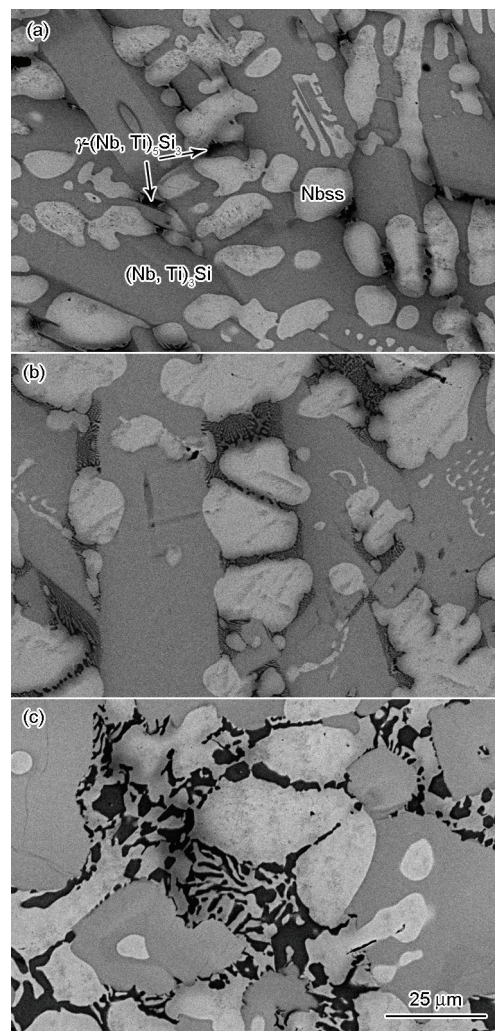


图9 不同Zr含量的Nb-22Ti-16Si合金的BSE像<sup>[11]</sup>

Fig.9 BSE images of Nb-22Ti-16Si alloy with Zr contents of 0 (a), 2% (b) and 4% (c)<sup>[11]</sup>

相存在, 这对合金的强度是有利的.

#### 4.2 Zr含量对合金压缩性能的影响

图12<sup>[11]</sup>为不同Zr含量合金的室温压缩性能. 可见, 随着Zr含量的增加, 合金的室温压缩屈服强度增加, 这主要归因于Zr的固溶强化作用. 由于Zr的固溶导致的晶格扭曲增加了变形的阻力, 使得合金的室温压缩屈服强度明显增加. 显微硬度的测试结果(表6<sup>[11]</sup>)表明, 当Zr含量小于1%时, (Nb, Ti)ss的固溶强化效果弱, (Nb, Ti)<sub>3</sub>Si<sub>3</sub>的固溶强化效果强, 室温屈服强度的增加主要是由(Nb, Ti)<sub>3</sub>Si<sub>3</sub>的固溶强化造成. 而当Zr含量大于1%, (Nb, Ti)ss和(Nb, Ti)<sub>3</sub>Si<sub>3</sub>同时被固溶强化, 而使合金强度增加. 另外, (Nb, Ti)ss和(Nb, Ti)<sub>3</sub>Si<sub>3</sub>相的共晶组织的出现, 可以形成更多的相界面, 从而有效地阻止位错的滑动, 使合金的屈服强度进一步增加. 而塑性的提高可能与Zr的加入导致的塑性(Nb, Ti)ss相适当粗化有关. 因为当

(Nb, Ti)ss 相比较细小时, 脆性(Nb, Ti)<sub>3</sub>Si 相对塑性 (Nb, Ti)ss 相的约束程度大, (Nb, Ti)ss 粒子在较高的约束程度下难以发生塑性变形. 而大尺寸的(Nb, Ti)ss

粒子受脆性相的约束程度小, 容易发生塑性变形及脆韧相间的界面剥离, 从而导致塑性增加. 而含 Zr 量为 4%合金塑性的减小可能是由于随 Zr 含量的增加, Zr 在(Nb, Ti)ss 相中含量增加, 从而导致 Zr 对 (Nb, Ti)ss 固溶强化作用进一步增强的缘故.

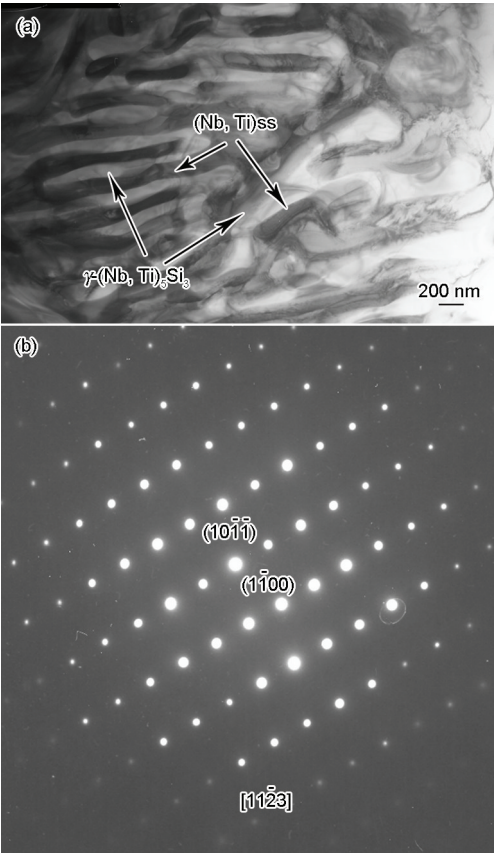


图 10 含 3%Zr 的 Nb-22Ti-16Si 合金中  $\gamma$ -Nb<sub>3</sub>Si<sub>3</sub> 的明场像和选区电子衍射谱<sup>[11]</sup>

Fig.10 TEM bright-field image of  $\gamma$ -Nb<sub>3</sub>Si<sub>3</sub> in Nb-22Ti-16Si alloy with 3% Zr (a) and selected area diffraction pattern along zone axis  $[11\bar{2}3]$  of  $\gamma$ -(Nb, Ti)<sub>3</sub>Si<sub>3</sub> (b)<sup>[11]</sup>

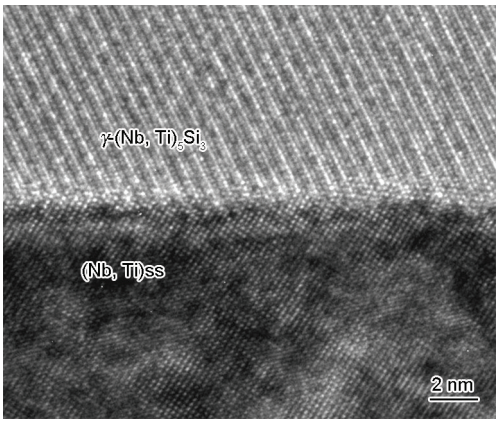


图 11 (Nb, Ti)ss/ $\gamma$ -(Nb, Ti)<sub>3</sub>Si<sub>3</sub> 界面的 HRTEM 像<sup>[20]</sup>

Fig.11 HRTEM image of (Nb, Ti)ss/ $\gamma$ -(Nb, Ti)<sub>3</sub>Si<sub>3</sub> interface<sup>[20]</sup>

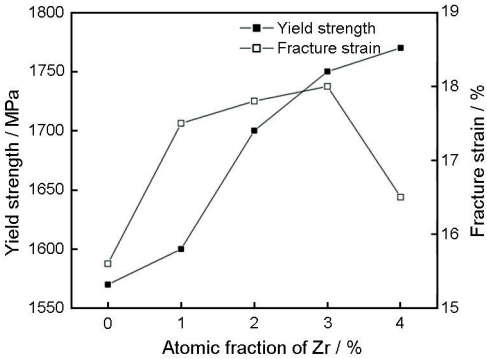


图 12 Zr 含量对 Nb-22Ti-16Si 合金室温压缩性能的影响<sup>[11]</sup>

Fig.12 Compressive properties of Nb-22Ti-16Si alloys with different Zr contents<sup>[11]</sup>

表 5 不同 Zr 含量 Nb-22Ti-16Si 合金各组成相的化学成分<sup>[12]</sup>

Table 5 Chemical compositions of phases in Nb-22Ti-16Si alloys with different Zr contents<sup>[12]</sup>

(atomic fraction / %)					
Content / %	Phase	Nb	Ti	Zr	Si
0	(Nb, Ti)ss	78.76	18.97	—	2.27
	(Nb, Ti) <sub>3</sub> Si	59.47	17.95	—	22.58
	$\gamma$ -(Nb, Ti) <sub>3</sub> Si <sub>3</sub>	30.58	33.61	—	35.81
2	(Nb, Ti)ss	79.86	17.86	0.95	1.32
	(Nb, Ti) <sub>3</sub> Si	56.47	22.78	1.21	19.40
	$\gamma$ -(Nb, Ti) <sub>3</sub> Si <sub>3</sub>	33.77	29.01	7.12	30.15
4	(Nb, Ti)ss	77.45	19.06	2.30	1.21
	(Nb, Ti) <sub>3</sub> Si	48.80	26.52	2.26	22.43
	$\gamma$ -(Nb, Ti) <sub>3</sub> Si <sub>3</sub>	31.85	26.62	10.07	32.55



图 13<sup>[12]</sup>给出了不同 Zr 含量的 Nb-22Ti-16Si 合金的室温压缩断口形貌. 由图可见, 无 Zr 合金呈现完全的穿晶解理断裂特征(图 13a), 而含 Zr 合金呈现出穿晶解理和界面剥离混合断裂的特征(图 13b 和 c), 并伴有(Nb, Ti)<sub>ss</sub> 相的撕裂棱. 当无 Zr 时, (Nb,

Ti)<sub>ss</sub> 粒子尺寸较小, 在脆性相的约束下丧失其塑性变形的能力而呈现解理断裂. 当加入 Zr 时, (Nb, Ti)<sub>ss</sub> 粒子尺寸的增大有助于界面剥离的发生, 界面剥离能够减小对(Nb, Ti)<sub>ss</sub> 的束缚, 形成自由表面, 从而可以获得一定的塑性, 其断口呈现出穿晶解理和界面剥离混合断裂的特征. 当 Zr 含量为 3% 时, 可使合金的室温强度和塑性得到良好配合.

表 6 Zr 含量对 Nb-22Ti-16Si 组织相显微硬度的影响<sup>[11]</sup>  
Table 6 Vickers hardness (HV) of constituent phases of Nb-22Ti-16Si alloy with different Zr contents<sup>[11]</sup>

Alloy	(Nb, Ti) <sub>ss</sub>	(Nb, Ti) <sub>5</sub> Si <sub>3</sub>
Nb-22Ti-16Si	390	906
Nb-22Ti-16Si-1Zr	394	1015
Nb-22Ti-16Si-2Zr	484	1048
Nb-22Ti-16Si-3Zr	513	1139
Nb-22Ti-16Si-4Zr	545	1157

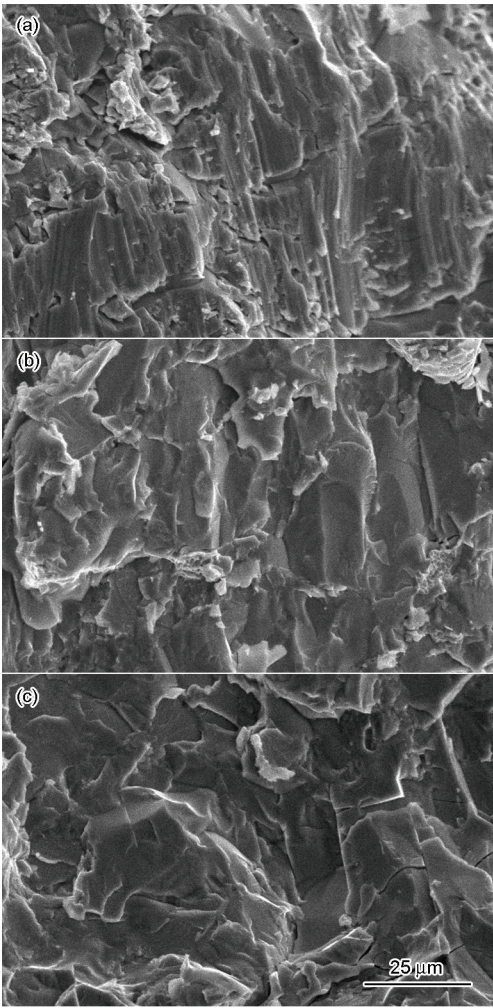


图 13 不同 Zr 含量 Nb-22Ti-16Si 合金的室温压缩断口形貌<sup>[12]</sup>

Fig.13 Fracture morphologies of Nb-22Ti-16Si alloy with Zr contents of 0 (a), 2% (b) and 4% (c) after room temperature compression<sup>[12]</sup>

5 稀土元素 Dy 和 Ho 的作用

5.1 对组织结构的影响

Nb-23Ti-10Ta-2Cr-18Si 合金的铸态组织见图 14a<sup>[13]</sup>. XRD 和选区电子衍射鉴定结果表明, 组织中存在 3 种相, 即灰白色(Nb, Ti)<sub>ss</sub>, 深灰色  $\alpha$ -(Nb, Ti)<sub>5</sub>Si<sub>3</sub> 和黑色  $\gamma$ -(Nb, Ti)<sub>5</sub>Si<sub>3</sub>. 往合金中加入适量 0.1%Dy, 尽管数量很少, 但稀土元素为表面活性元素, 可以降低合金液体的表面张力, 从而降低形核功, 增加结晶核心数量, 因而使组织明显细化(图 14b), 尤其表现为(Nb, Ti)<sub>5</sub>Si<sub>3</sub> 相尺寸大幅度减小, 并出现少量的亮白色相. EDS 分析表明, 其主要化学成分为: Dy 39.40%, O 59.79% (表 7<sup>[13]</sup>), 化学计量比近似为 Dy:O=2:3, 因此, 亮白相可推测为 Dy<sub>2</sub>O<sub>3</sub>. 往 Nb-22Ti-16Si-7Cr-3Al-3Ta-2Hf 合金中加入 Ho, 对晶粒尺寸和(Nb, Ti)<sub>5</sub>Si<sub>3</sub> 相细化更明显. 并在(Nb, Ti)<sub>ss</sub> 和(Nb, Ti)<sub>5</sub>Si<sub>3</sub> 相之间的界面生成亮白色相. 选区电子

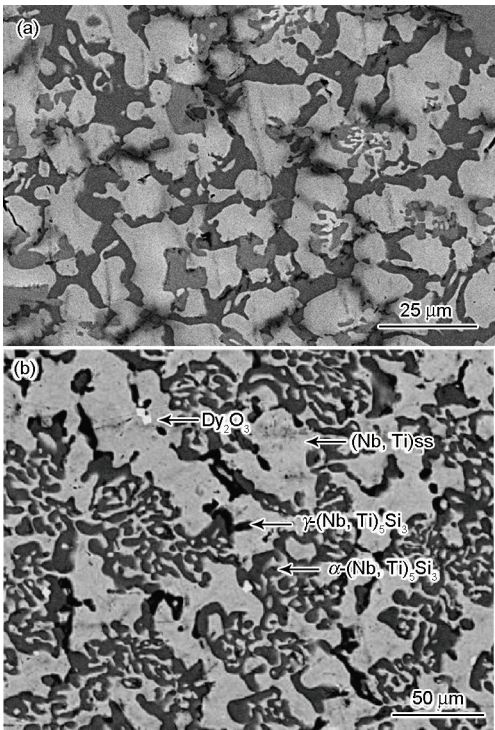


图 14 Nb-23Ti-10Ta-2Cr-18Si-xDy 合金的 BSE 像<sup>[13]</sup>

Fig.14 BSE images of Nb-23Ti-10Ta-2Cr-18Si-xDy alloy with x=0 (a) and x=0.1 (b)<sup>[13]</sup>

chinaXiv:202303.00602v1

表 7 2 种合金各组成相的化学成分<sup>[13]</sup>  
Table 7 Chemical compositions of phases in Nb-23Ti-10Ta-2Cr-18Si-xDy (x=0, 0.1) alloys<sup>[13]</sup>

(atomic fraction / %)								
x	Phase	Nb	Ti	Ta	Cr	Si	Dy	O
0	(Nb, Ti)ss	58.02	22.25	12.96	3.57	3.20	—	—
	$\alpha$ -(Nb, Ti) <sub>5</sub> Si <sub>3</sub>	41.83	15.33	6.33	0.83	35.68	—	—
	$\gamma$ -(Ti, Nb) <sub>5</sub> Si <sub>3</sub>	31.22	26.68	6.29	0.97	34.84	—	—
0.1	(Nb, Ti)ss	56.01	23.93	13.45	3.60	3.01	—	—
	$\alpha$ -(Nb, Ti) <sub>5</sub> Si <sub>3</sub>	42.37	14.53	6.11	0.87	36.12	—	—
	$\gamma$ -(Ti, Nb) <sub>5</sub> Si <sub>3</sub>	32.58	27.54	5.99	0.81	33.08	—	—
	Dy <sub>2</sub> O <sub>3</sub>	0.81	—	—	—	—	39.40	59.79

衍射表明, 亮白色相为立方  $\text{Ho}_2\text{Hf}_2\text{O}_7$  氧化物相颗粒, 尺寸在 0.3~1.5  $\mu\text{m}$ , 如图 15 所示<sup>[11]</sup>, 其具有 fcc 结构, 晶格参数  $a=5.206\text{ nm}$ .

(Nb,Ti)ss,  $\alpha$ -(Nb,Ti)<sub>5</sub>Si<sub>3</sub>,  $\gamma$ -(Ti,Nb)<sub>5</sub>Si<sub>3</sub> 和 Dy<sub>2</sub>O<sub>3</sub> 4 种相的化学成分见表 7<sup>[13]</sup>. 可见, (Nb, Ti)ss 相除 Nb, Ti 元素外, 还含有一定数量 Ta, Cr 和 Si.  $\alpha$ -(Nb, Ti)<sub>5</sub>Si<sub>3</sub> 和  $\gamma$ -(Ti, Nb)<sub>5</sub>Si<sub>3</sub> 相还含有一定数量的 Ta 和 Cr, 但前者 Nb 含量较后者高, 而 Ti 含量较后者低. 加入 0.1%Dy 对上述 3 个相的化学成分影响不大. 2 种硅化物的相结构不同,  $\alpha$ -(Nb, Ti)<sub>5</sub>Si<sub>3</sub> 具有  $D8_1$  结构, 而  $\gamma$ -(Ti,Nb)<sub>5</sub>Si<sub>3</sub> 具有  $tI32$  结构.

Nb-22Ti-16Si-7Cr-3Al-3Ta-2Hf 合金铸态共晶组织由  $\alpha$ -(Nb, Ti)<sub>5</sub>Si<sub>3</sub> 和 (Nb, Ti)ss 层片构成, 2 者的取向关系为  $(002)_\alpha // (002)_{\text{Nb}}$ ;  $[310]_\alpha // [110]_{\text{Nb}}$ , 见图 16<sup>[20]</sup>.  $\alpha$ -(Nb, Ti)<sub>5</sub>Si<sub>3</sub>/(Nb, Ti)ss 界面的原子结构是  $\alpha$ -(Nb, Ti)<sub>5</sub>Si<sub>3</sub> 相中的 Nb 原子层, 而不是纯 Si 层或 (Nb+Si) 混合层与 (Nb, Ti)ss 相结合, 刃型位错周期的排列在界面上, 位错线方向为  $[1\bar{1}0]_{\text{Nb}}$ , Burges 矢量为  $1/2 [1\bar{1}0]_{\text{Nb}}$ , 间距为 2.1 nm, 与 10.9% 的错配应变相适应. 界面平滑, 无非晶相存在, 这种界面结合有利于力学性能的改善.

EDS 线扫描表明, Dy 在 (Nb, Ti)ss 和 (Nb, Ti)<sub>5</sub>Si<sub>3</sub> 2 相界面有一个明显的峰值(图 17<sup>[13]</sup>), 说明 Dy 元素大量偏聚在 2 相界面, 少量固溶在 (Nb, Ti)ss 和 (Nb, Ti)<sub>5</sub>Si<sub>3</sub> 中. 从偏聚在相界 Dy 元素的峰值强度与固溶在相内的峰值强度之比, 可以算出 Dy 元素的偏聚比最高约为 2.5, 这主要是由于 Dy 的原子半径 (0.177 nm) 比 Nb 和 Si 的原子半径 (分别为 0.148 和 0.117 nm) 大, 从而 Dy 的固溶导致的畸变能比偏聚在相界导致的畸变能大. 为了降低畸变能, Dy 通过扩散向相界和晶界偏聚, 这是稀土元素高表面活性

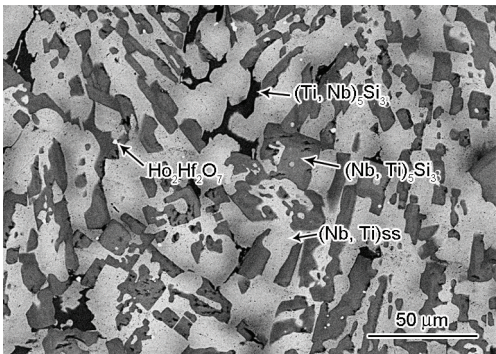


图 15 Nb-22Ti-16Si-7Cr-3Al-3Ta-2Hf-0.1Ho 合金的 BSE 像<sup>[17]</sup>

Fig.15 BSE image of Nb-22Ti-16Si-7Cr-3Al-3Ta-2Hf-0.1Ho alloy<sup>[17]</sup>

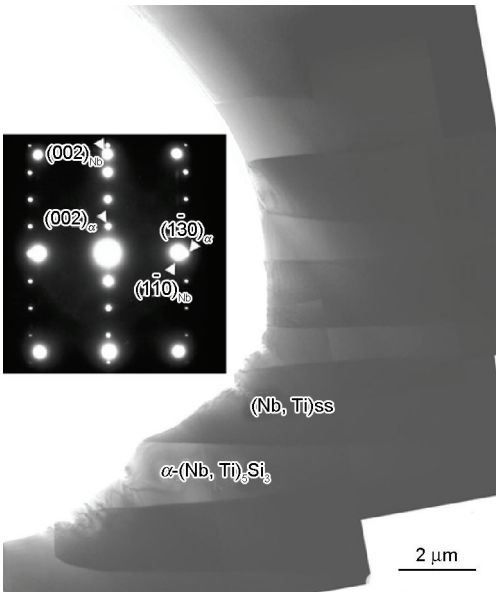


图 16  $\alpha$ -(Nb, Ti)<sub>5</sub>Si<sub>3</sub>/(Nb, Ti)ss 层片的 TEM 明场像<sup>[20]</sup>  
Fig.16 Bright-field TEM image of  $\alpha$ -(Nb, Ti)<sub>5</sub>Si<sub>3</sub>/(Nb, Ti)ss (Inset shows the corresponding SAED pattern, zone axis is  $[310]_\alpha // [110]_{\text{Nb}}$ )<sup>[20]</sup>

chinaXiv:202303.00602v1



的反应, 在液态合金状态可以减小表面张力和晶粒形核能, 从而增加形核率, 同时, 由于稀土元素 Dy 很容易与金属液中的 O 和 S 反应生成氧化物和硫化物, 作为结晶核心, 从而加速了金属液体的凝固, 细化了晶粒和(Nb, Ti)<sub>3</sub>Si<sub>3</sub>相. 同时, 在相界和晶界容易形成 Dy 的氧化物, Ho 与 Dy 有类似作用.

5.2 对压缩性能的影响

适量 Dy 和 Ho 可明显提高(Nb, Ti)<sub>3</sub>Si<sub>3</sub>共晶合金的屈服强度和断裂塑性, 分别见表 8<sup>[14]</sup>和图 18<sup>[15]</sup>. 表 8 表明, 0.1%Dy 加入到 Nb-23Ti-10Ta-2Cr-18Si 共晶合金中, 明显提高室温至 1200 °C 高温的屈服强度和室温压缩塑性. 屈服强度的增加与以下因素有关: (1) Dy 原子的固溶强化作用. 由于 Dy 原子半径比 Nb 和 Si 的原子半径大, Dy 固溶导致的晶格畸变增加了变形阻力; (2) 界面强化作用. 偏聚在界面的 Dy 原子将填充界面空位, 减少界面滑移速度和扩展速率, 同时, 表面活性元素 Dy 与 O 和 S 反应生成氧化物和硫化物, 使界面净化, 增加界面强度; (3) 细晶强化作用. 组织的细化通常有利于室温和中温强度与塑性的提高.

同理, Nb-22Ti-16Si-7Cr-3Al-3Ta-2Hf 合金中加

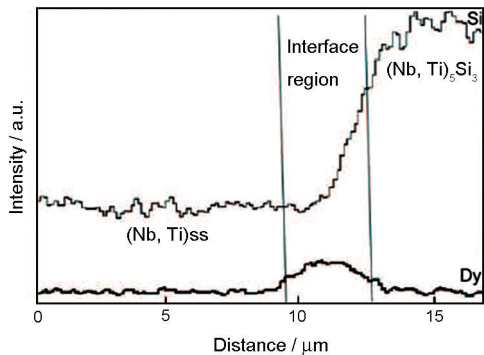


图 17 0.1%Dy 合金中穿过 2 相界面的 EDS 线扫描图<sup>[13]</sup>

Fig.17 EDS line-scanning curves across the interface between (Nb, Ti)ss and (Nb, Ti)<sub>3</sub>Si<sub>3</sub> phases in the alloy with 0.1%Dy<sup>[13]</sup>

表 8 Nb-23Ti-10Ta-2Cr-18Si-xDy (x=0, 0.1)合金的压缩性能<sup>[14]</sup>

Table 8 Compressive properties of Nb-23Ti-10Ta-2Cr-18Si-xDy (x=0, 0.1) alloys<sup>[14]</sup>

x	Yield strength / MPa			Fracture strain at RT / %
	RT	1273 K	1473 K	
0	1760	730	399	13.0
0.1	1941	820	445	18.2

Note: RT—room temperature

入 0.1%Ho 可以改善室温至高温屈服强度, 并明显提高室温塑性(图 18). 当 Ho 含量达 0.2%, 由于立方 Ho<sub>2</sub>Hf<sub>2</sub>O<sub>7</sub>析出较多而导致力学性能降低.

5.3 定向凝固的作用

为了进一步改善(Nb, Ti)<sub>3</sub>Si<sub>3</sub>共晶合金的力学性能, 采用光浮区熔技术制备定向凝固合金, 合金成分与上节中加 0.1%Ho 合金相同, 金相组织形貌见图 19<sup>[14]</sup>. 可见, 纵向组织中层片状硅化物沿生长方向平行生长, 且具有非常强的取向关系, 即(Nb, Ti)ss 的 [110]和(Nb, Ti)<sub>3</sub>Si<sub>3</sub>的[310]平行于生长方向. HRTEM

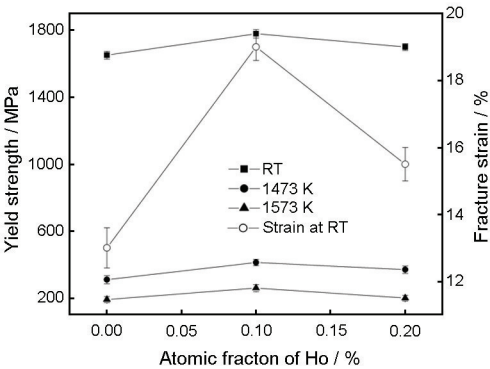


图 18 不同 Ho 含量 Nb-22Ti-16Si-7Cr-3Al-3Ta-2Hf 合金的力学性能<sup>[15]</sup>

Fig.18 Mechanical properties of Nb-22Ti-16Si-7Cr-3Al-3Ta-2Hf alloy with different Ho contents<sup>[15]</sup>

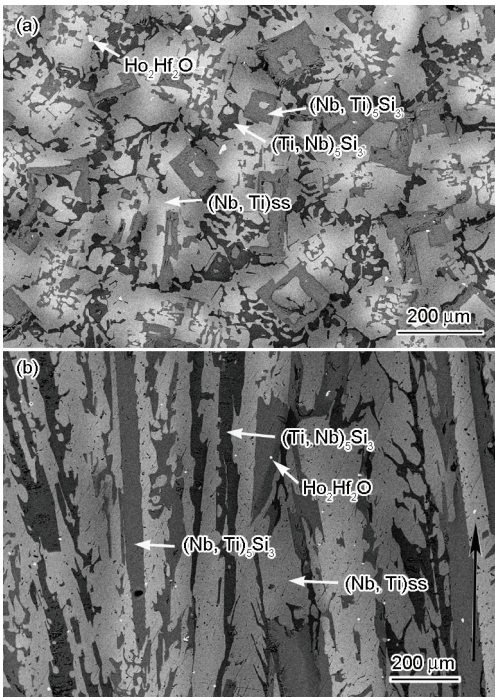


图 19 Nb-22Ti-16Si-7Cr-3Al-3Ta-2Hf-0.1Ho 合金横截面和纵截面的 BSE 像<sup>[19]</sup>

Fig.19 BSE images of Nb-22Ti-16Si-7Cr-3Al-3Ta-2Hf-0.1Ho alloy in transverse (a) and longitudinal (b) sections<sup>[19]</sup>

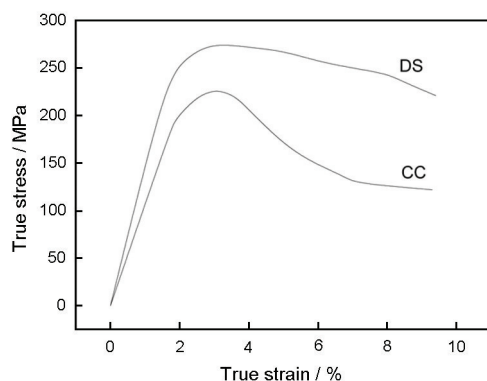


图20 普通铸造(CC)和定向凝固(DS)合金在1623 K的压缩真应力-真应变曲线<sup>[19]</sup>

Fig.20 Compressive true stress-strain curves of conventional cast (CC) and directionally solidified (DS) alloys at 1623 K<sup>[19]</sup>

像结果表明,  $(\text{Nb}, \text{Ti})_5\text{Si}_3$  和  $(\text{Nb}, \text{Ti})\text{ss}$  或者  $(\text{Ti}, \text{Nb})_5\text{Si}_3$  和  $(\text{Nb}, \text{Ti})\text{ss}$  之间没有确定的晶体学取向关系, 但界面清洁, 没有发现任何界面相存在,  $(\text{Nb}, \text{Ti})_5\text{Si}_3$  和  $(\text{Ti}, \text{Nb})_5\text{Si}_3$  相与  $(\text{Nb}, \text{Ti})\text{ss}$  基体结合良好, 显然对力学性能的改善是有利的。

图20<sup>[19]</sup>为合金在1623 K的真应力-真应变曲线。可见, 在峰值应力后, 应力逐渐降低, 并保持在较高水平。定向凝固合金的真应力-真应变曲线明显高于普通铸造合金, 高温压缩屈服强度优于普通铸造合金。

## 6 结论

(1) 二元 Nb-16Si 合金的组织由初生 Nbss 和 Nb/Nb<sub>5</sub>Si<sub>3</sub> 细小共晶组成, 加入(1%~7%)Hf, 使组织明显细化, 初生 Nbss 颗粒增多, 共晶胞尺寸减小, 并在相界上出现少量 HfO<sub>2</sub>; 三元 Nb-16Si-22Ti 合金的组织由  $(\text{Nb}, \text{Ti})\text{ss}$  和  $(\text{Nb}, \text{Ti})_5\text{Si}_3$  组成。加入(2%~4%)Zr 后, 组织粗化,  $(\text{Nb}, \text{Ti})\text{ss}$  增大, 并促进  $(\text{Nb}, \text{Ti})\text{ss}$  和  $\gamma$ - $(\text{Nb}, \text{Ti})_5\text{Si}_3$  共晶形成。

(2) 多元 Nb-20Ti-3Cr-3Al-18Si 合金的组织由初生的  $(\text{Nb}, \text{Ti})_5\text{Si}_3$  相和  $(\text{Nb}, \text{Ti})\text{ss} + (\text{Nb}, \text{Ti})_5\text{Si}_3$  共晶组成, 加入 1.5%Sn 对合金组织没有明显影响。加入 1.5%Sn 和 4%Hf 后, 共晶组织明显粗化, 并有富 Hf 相  $\gamma$ - $(\text{Nb}, \text{Ti})_5\text{Si}_3$  相沿相界析出。多元 Nb-22Ti-16Si-7Cr-3Al 合金的组织由  $(\text{Nb}, \text{Ti})\text{ss}$  和  $\beta$ - $(\text{Nb}, \text{Ti})_5\text{Si}_3$  相组成, 当 Ta 含量超过 5%, 合金组织由  $(\text{Nb}, \text{Ti})\text{ss}$ ,  $\beta$ - $(\text{Nb}, \text{Ti})_5\text{Si}_3$  和  $\alpha$ - $(\text{Nb}, \text{Ti})_5\text{Si}_3$  相组成, 而且随 Ta 含量增多,  $\alpha$  相增多,  $\beta$  相减少。

(3) 多元 Nb-22Ti-10Ta-2Cr-18Si 和 Nb-22Ti-16Si-7Cr-3Al-3Ta-2Hf 合金的组织由  $(\text{Nb}, \text{Ti})\text{ss}$ ,  $\alpha$ - $(\text{Nb},$

$\text{Ti})_5\text{Si}_3$  和  $\gamma$ - $(\text{Ti}, \text{Nb})_5\text{Si}_3$  构成。前一合金加入 0.1%Dy 后, 使组织明显细化, 使  $(\text{Nb}, \text{Ti})_5\text{Si}_3$  相尺寸减小, 并在相界上出现亮白色 Dy<sub>2</sub>O<sub>3</sub> 相, 后一合金加入 0.1%Ho 后, 对晶粒尺寸和  $(\text{Nb}, \text{Ti})_5\text{Si}_3$  细化更明显, 并在相界生成 Ho<sub>2</sub>Hf<sub>2</sub>O<sub>7</sub> 氧化物颗粒。经定向凝固后,  $(\text{Nb}, \text{Ti})_5\text{Si}_3$  相沿生长方向平行生长。

(4) Nb-22Ti-16Si-7Cr-3Al-3Ta-2Hf 合金铸态共晶组织由  $\alpha$ - $(\text{Nb}, \text{Ti})_5\text{Si}_3$  和  $(\text{Nb}, \text{Ti})\text{ss}$  层片构成, 2 者取向关系为  $(002)_{\alpha} // (002)_{\text{Nb}}, [310]_{\alpha} // [110]_{\text{Nb}}$ 。  $\alpha$ - $(\text{Nb}, \text{Ti})_5\text{Si}_3$  界面原子结构是  $\alpha$ - $(\text{Nb}, \text{Ti})_5\text{Si}_3$  相中的 Nb 原子层, 而不是 Si 层或  $(\text{Nb} + \text{Si})$  混合层与  $(\text{Nb}, \text{Ti})\text{ss}$  相结合。界面平滑, 无非晶相存在, 而 Nb-22Ti-16Si 合金铸态组织中  $(\text{Nb}, \text{Ti})\text{ss}$  和  $\gamma$ - $(\text{Nb}, \text{Ti})_5\text{Si}_3$  的界面没有一致的取向关系, 界面光滑平直, 没有中间相存在, 这类界面对合金力学性能有利。

(5) 合金元素 Hf, Zr, Sn+Hf, Ta, Dy 和 Ho 加入 Nb-Si 系二元或多元合金, 明显提高室温和高温的压缩屈服强度和塑性以及合金的断裂韧性, 强度的提高与合金元素的固溶强化等因素有关, 塑性韧性的改善与组织的细化和超过临界尺寸的  $(\text{Nb}, \text{Ti})\text{ss}$  颗粒增多等因素有关。

## 参考文献

- [1] Guo J T, Tian Y X, Sheng L Y, Zhou L Z, Ye H Q. *Int J Mater Res*, 2008; 99: 1
- [2] Zelenitsas K, Tsakiroopoulos P. *Intermetallics*, 2006; 14: 639
- [3] Geng J, Tsakiroopoulos P, Shao G. *Intermetallics*, 2006; 14: 227
- [4] Ma C L, Li J G, Tan Y, Tanaka R, Hanada S. *Mater Sci Eng*, 2004; A386: 375
- [5] Kim W Y, Yeo I D, Ra T Y, Cho G S, Kim M S. *J Alloys Compd*, 2004; 364: 186
- [6] Jin-Hak K, Tatsuo T, Michiru S, Shuji H. *Mater Sci Eng*, 2004; A372: 137
- [7] Kim W Y, Yeo I D, Kim M S, Hanada S. *Mater Trans*, 2002; 43: 3254
- [8] Chan K S. *Mater Sci Eng*, 2002; A329-331: 531
- [9] Bewlay B P, Lewandowski J J. *J Mater*, 1977; 60: 44
- [10] Tian Y X, Guo J T, Zhou L Z, Cheng G M, Ye H Q. *Mater Lett*, 2008; 62: 2657
- [11] Tian Y X, Guo J T, Sheng L Y, Cheng G M, Zhou L Z, He L L, Ye H Q. *Intermetallics*, 2008; 16: 807
- [12] Tian Y X, Zhou L Z, Guo J T. In: High-Temperature Material Branch of The Chinese Society for Metals eds., *The Power and The Energy Use High Temperature Structural Materials—11th Session of China High Temperature Alloy Annual Meeting Collection*, Beijing: Metallurgical Industry Press, 2007: 602  
(田玉新, 周兰章, 郭建亭. 见: 中国金属学会高温材料分会主编, 动力与能源用高温结构材料—第11届中国高温合金年会论文集, 北京: 冶金工业出版社, 2007: 602)



- [13] Wu C L, Zhou L Z, Guo J T. *Acta Metall Sin*, 2006; 42: 1061  
(伍春兰, 周兰章, 郭建亭. 金属学报, 2006; 42: 1061)
- [14] Tian Y X, Guo J T, Zhou L Z, Li G S, Ye H Q. *Acta Metall Sin*, 2008; 44: 580  
(田玉新, 郭建亭, 周兰章, 李谷松, 叶恒强. 金属学报, 2008; 44: 580)
- [15] Tian Y X, Guo J T, Liang Y C, Wu C L, Zhou L Z, Ye H Q. *Int J Mater Res*, 2007; 98: 511
- [16] Tian Y X, Guo J T, Cheng G M, Sheng L Y, Zhou L Z, He L L, Ye H Q. *Int J Mater Res*, 2008; 99: 2
- [17] Tian Y X, Cheng G M, Guo J T, Zhou L Z, He L L, Ye H Q. *Adv Eng Mater*; 2007; 9: 936
- [18] Tian Y X, Guo J T, Cheng G M, Sheng L Y, Zhou L Z, He L L, Ye H Q. *Mater Des*, 2009; 30: 2274
- [19] Guo J T, Tian Y X, Cheng G M, Zhou L Z, He L L, Ye H Q. *J Alloys Compd*, 2009; 470: 606
- [20] Cheng G M, Tian Y X, He L L, Guo J T. *Philos Mag*, 2009; 89: 2801
- [21] Kim W Y, Tanaka H, Kasama A, Hanada S. *Intermetallics*, 2001; 9: 827
- [22] Chan K S. *Metall Mater Trans*, 2001; 32A: 2475
- [23] Kumar K S, Manna S K. *Mater Res Symp Proc*, 1989; 133: 415
- [24] Massalski T B. *Binary Alloy Phase Diagram*. 2nd Ed., Materials Park, Ohio: The Materials Information Society, 1996: 2764, 2772
- [25] Miura S, Aoki M, Saeki Y, Ohkubo K, Mishima Y, Mohri T. *Metall Mater Trans*, 2005; 36A: 489

(责任编辑:罗艳芬)